

变性梯度凝胶电泳在遗传性多发性外生性骨疣基因诊断中的应用

何洪波¹, 胡正茂², 李贺君¹, 朱勇¹, 施小六³, 雷光华¹, 周江南¹, 李康华¹

(中南大学 1. 湘雅医院骨科, 长沙 410008; 2. 中国医学遗传学国家重点实验室, 长沙 410078;
3. 湘雅二医院消化内科, 长沙 410011)

[摘要] 目的:采用检测遗传性多发性外生性骨疣(hereditary multiple exostoses, HME)患者EXT2基因的突变,分析该方法的敏感性及用于HME基因诊断的可行性。方法:收集5个HME家系和3个HME散发患者,利用变性梯度凝胶电泳方法对EXT2基因的所有编码外显子及其旁侧内含子序列进行检测,并对出现异常构象的片段进行DNA测序分析。结果:在两个家系中分别发现了一种A313T的无义突变和一种319insGT的移码突变。结论:在HME患者中发现了2个EXT2基因致病突变,DGGE可作为基因诊断理想的候选方法。

[关键词] 外生性骨疣; EXT2基因; 基因诊断; 变性梯度凝胶电泳

[中图分类号] R738.1 **[文献标识码]** A **[文章编号]** 1672-7347(2007)02-0323-05

Denaturant gradient gel electrophoresis in the genetic diagnosis of hereditary multiple exostoses

HE Hong-bo¹, HU Zheng-mao², LI He-jun¹, ZHU Yong¹,

SHI Xiao-liu³, LEI Guang-hua¹, ZHOU Jiang-nan¹, LI Kang-hua¹

(1. Department of Orthopaedics, Xiangya Hospital, Central South University, Changsha 410008; 2. National Laboratory of Medical Genetics of China, Central South University, Changsha 410078; 3. Department of Gastroenterology, Second Xiangya Hospital, Central South University, Changsha 410011, China)

Abstract: **Objective** To detect the mutations of EXT2 gene in hereditary multiple exostoses (HME) families and to investigate the sensitivity of denaturant gradient gel electrophoresis (DGGE) in screening the mutations in EXT2 gene. **Methods** Five HME families and 3 sporadic patients were screened for the mutation detection in all exons of EXT2 gene covering the coding sequence and the flanking intronic sequence by DGGE, and DNA sequencing was performed for products with abnormal conformation. **Results** Among these HME patients, we found 2 disease-causing mutations: A313T (nonsense mutation) and 319insGT (frameshift mutation). **Conclusion** Two mutations of EXT2 gene are identified in the sample. DGGE can be an ideal choice for gene diagnoses of HME.

Key words: hereditary multiple exostoses; EXT2; gene diagnoses; denaturant gradient gel electrophoresis

[J Cent South Univ (Med Sci), 2007, 32(2):0323-05]

遗传性多发性外生性骨疣(hereditary multiple exostoses, HME)是一种累及软骨化骨的常染色体显性遗传病,以长骨近骺部多发的外生骨疣形成

为特征,是骨系统常见的肿瘤,约2/3有阳性家族史^[1]。目前已定位的HME致病基因位点至少有8q24.1上的EXT1^[2],11p11上的EXT2^[3]及19p

①收稿日期(Date of reception) 2006-05-17

作者简介(Biography) 何洪波(1970-),男,湖南醴陵人,主治医师,硕士,主要从事骨科遗传病的研究。

通讯作者(Corresponding author) 何洪波, E-mail: hehongbo@cnlmg.com

上的 *EXT3*^[4], 其中 *EXT1*, *EXT2* 基因分别于 1995 年和 1996 年被克隆^[5~7]。近年来的研究已在欧美人群的 HME 家系中发现了多种 *EXT1* 与 *EXT2* 基因的致病突变, 突变方式多种多样。已报道的 *EXT* 基因突变检测方法包括: PCR-直接测序法、单链构象多态性法 (PCR-SSCP)、变性高效液相色谱 (DHPLC) 等^[8], 但是尚未见到变性梯度凝胶电泳法 (DGGE) 用于此基因突变的检测。为进一步了解中国人群 *EXT2* 基因突变的情况, 笔者以 5 个汉族 HME 家系和 3 个散发患者作为研究对象, 采用 DGGE 测序对 *EXT2* 基因的所有编码外显子进行了突变分析。

1 材料与方法

1.1 家系收集 所有 HME 患者均由中南大学医学遗传学国家重点实验室、湘雅医院及湘雅二医院骨科联合收集, 每一家系成员的先证者由专科教授确诊, 其中有 5 个为家系发病, 3 个为散发患者。患者年龄 8~40(平均 18)岁, 男女各 7 位。5 个家系先证者和 3 个散发患者的发病年龄为 1~6 岁, 其肱骨、膝部及肋骨等处均有大小数目不等的骨疣。

1.2 标本采集及 DNA 抽提 在获得书面的知情同意后, 每个个体抽取 10 mL 外周血(肝素抗凝), 采用苯酚氯仿法抽提基因组 DNA。

1.3 PCR 扩增 引物序列参照 Philippe 等^[9] 的方法。引物合成由上海博亚生物技术有限公司完成。PCR 反应体系如下: 总体积 50 μL, 包括 10 × buffer 5 μL; 15 mmol/L MgCl₂ 5 μL; 10 mmol/L dNTP 1 μL; gDNA (100 ng/μL) 1.5 μL 及 Taq DNA polymerase 0.3 μL; 不带 CG 夹的引物 200 ng, 带 CG 夹的引物 600 ng。反应在 Perkin Elmer 公司的 9700 型 PCR 仪上完成。反应条件为: 96 °C 预变性 2

min; 95 °C 变性 30 s, 适当温度退火 30 s, 72 °C 延伸 50 s, 共 32~34 个循环; 72 °C 延伸 10 min; 4 °C 保存。PCR 产物加入等体积的载样缓冲液, 用 2 × TAE 溶解至 10 mL 终止反应, 经中性胶检测后即可用于 DGGE 电泳。反应所用的 Taq 酶及配套的 Buffer, MgCl₂, dNTP 均购自上海生工生物工程技术服务公司。

1.4 DGGE 检测 制备 20%~70% 变性强度的垂直梯度胶, 聚丙烯酰胺胶浓度为 8%, 胶黏度为 37.5:1。放入装有 1 × TAE 电泳缓冲液的电泳槽内预热, 预电泳 15 min 后取 50 μL 混有载样缓冲液的 PCR 产物上样于胶孔, 56 °C 恒温, 130~140 V 恒电压下电泳至二甲苯青刚好出胶时下胶, 然后银染显色。如发现异常构象, 则改平行梯度胶(梯度范围不变)检测家系成员及正常对照, 电压 150 V, 电泳时间 6~9 h。

1.5 测序反应与序列分析 对 DGGE 检测出现异常构象的标本进行放大反应体积 PCR 扩增, 产物纯化, 并用正反向引物在 ABI 公司 3100 型的自动测序仪上完成测序。同时对所有家系先证者 *EXT2* 基因的 2 号和 8 号外显子测序。测序结果用 SeqMan 软件与正常序列比较并判断核苷酸及编码的氨基酸是否发生改变。

2 结 果

2.1 DGGE 检测结果

2.1.1 垂直 DGGE 结果 本实验在 5 个家系的先证者及 3 个散发患者中发现了两个家系的构象改变, 其中一个家系在外显子 2 的第二对引物的扩增产物中发现异常构象带, 另一家系在外显子 2 的两对引物的扩增产物中都发现有异常构象带(图 1)。

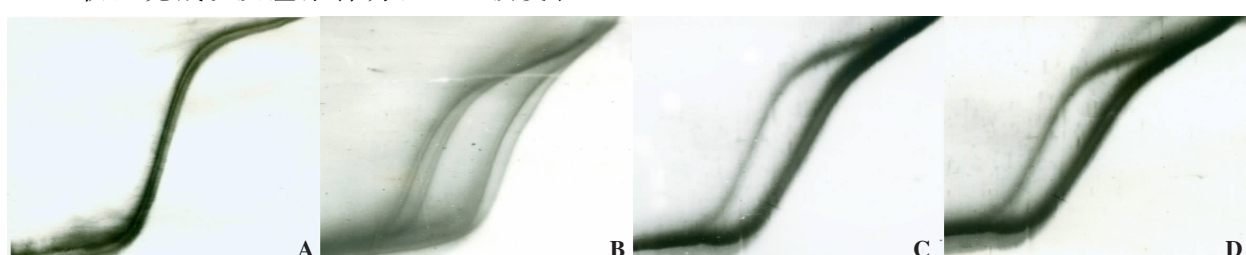


图 1 *EXT2* 基因突变的垂直 DGGE 电泳图谱 A: 正常对照, 表现为一种单一曲线; B: 在 43 号家系患者 2 号外显子的第二对引物的扩增产物中发现异常构象带; C,D: 在 14 号家系先证者 2 号外显子的两对引物的扩增产物中都发现异常构象带

Fig. 1 Vertical DGGE electrophoresis of *EXT2* gene A: Control, the result showing a single curve; B: Patient in Family 43, the PCR fragment of the exon 2 amplified by the second pair of primers showing abnormal conformation bands; C and D: Proband in Family 14, the PCR fragments of the exon 2 amplified by 2 pairs of primers showing abnormal conformation bands

2.1.2 平行 DGGE 结果 上述扩增片段的平行 DGGE 结果见图 2。上述扩增片段的平行 DGGE 结果证实了垂直 DGGE 的结果,一个家系在外显子 2 的第二对引物的扩增产物中出现异常构象带,另一家系在外显子 2 的两对引物都出现异常构象带。

2.2 序列分析结果 对上述异常片段测序后发现了 3 种核苷酸序列的杂合性改变:其中在 14 号家系有一个 A313T(图 3A),该变异使第 105 位密码子 AAG(编码精氨酸)变为终止密码 TAG,为无义突变,家系中的两患者(父亲、儿子)均有此突变,正常人无;在 14 号家系还有一 C28A(图 3B),使第 10 位密码子由 CGG 变为 AGG,但均编码精氨酸,是一个多态。在 43 号家系患者编码区有一个 319insGT(图 3C),该变异导致其后的阅读框移码,并于第 111 位氨基酸后出现终止密码子 TAG,此突变仅见于家系中的患者。对其他家系中先证者的外显子 2 和 8 直接测序,未发现有突变或多态。

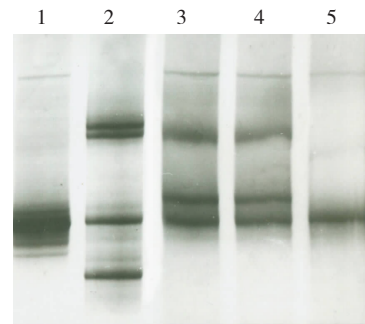


图 2 EXT2 基因突变的平行 DGGE 电泳图谱 1,2 和 3 为 2 号外显子的第二对引物的扩增产物,其中 1 为正常对照,仅见单一构象带;2 为 43 号家系患者的扩增片段构象带,其中两条迁移率明显慢于正常;3 为 14 号家系患者的扩增片段,见明显 3 条构象带。4 和 5 为 2 号外显子的第一对引物的扩增产物,其中 4 为 14 号家系患者的扩增片段,见明显 3 条构象带;5 为家系内正常对照,仅见单一构象带

Fig.2 Parallel DGGE electrophoresis of EXT2 gene Lane 1, Lane 2 and lane 3 showing the PCR fragments of the EX-ON 2 amplified by the 2nd pair of primers Lane 1: Only a single conformation band in the control; Lane 2: Abnormal conformation bands in the patient in Family 43; the morbility of two of which was obviously slower compared with Lane 1; Lane 3: Patient in Family 14, 3 apparent pieces of conformation bands in the patient in Family 14. Lane 4 and Lane 5 showing the PCR fragments of the EX-ON 2 amplified by the 1st pair of primers; Lane 4: Three apparent pieces of conformation bands in the patient in Family 14; Lane 5: Only a single conformation band in the control in Family 14

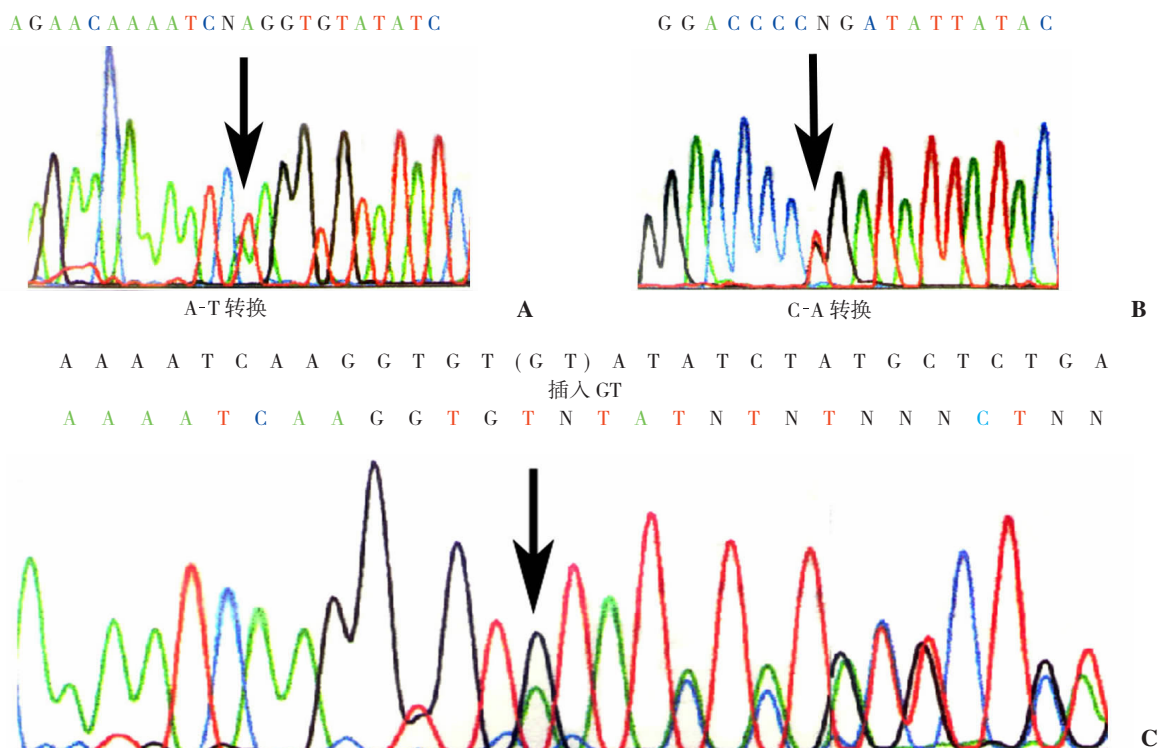


图 3 出现异常构象的 PCR 扩增片段的测序结果 A:14 号家系患者的 A313T;B:14 号家系患者的 C28A(反向序列);C:43 号家系患者的 319insGT,导致其阅读框移码,并于第 111 位氨基酸后出现终止密码子 TGA

Fig.3 Sequencing of the PCR fragments which showed the abnormal conformation bands in Fig.1 and Fig.2 A: A313T in patient in Family 14; B: C28A in patient in Family 14 (reverse sequence); C: patient in Family 43, 319insGT which leads to the shifting of reading frame and causes the appearance of stop code TGA after the 111th amino acids location

3 讨 论

遗传性多发性外生性骨疣(HME)可有多种并发症,较正常人群有较高的恶变率(0.5~2%)^[1]。根据HME人群有较高的恶变率(如考虑年龄因素可达2%~5%,而正常人群为1/100 000)^[10]以及在散发骨软骨肉瘤或EXT继发的骨软骨肉瘤中发现的多个EXT基因位点的杂合性丢失(LOH)现象,Hetch等^[10]认为EXT基因可能属于一个新的肿瘤抑制基因家族,而近年的研究表明:EXT1,EXT2基因都编码肝素硫酸盐聚合酶,该酶既具有D-葡萄糖醛酸转移酶活性又具有N-乙酰-D-氨基酸葡萄糖转移酶活性,参与肝素硫酸(heparan sulfate,HS)的合成,HS是蛋白多糖的重要组成部分,而蛋白多糖在HME的发病中起重要作用^[6]。笔者对找到致病突变的14号和43号家系进行了基因型和表型的相关分析,发现14号家系的先证者和43号家系的先证者发病年龄都较早,分别是1和2岁,这两个家系的患者都有不同程度的身材矮小,而且骨疣数目比较多,大约有20个左右可扪及的骨疣,分布在肱骨、前臂、膝部、踝关节以及脊椎等多处。EXT2基因共编码718个氨基酸^[11],本研究发现的2种EXT2致病突变,A313T和319insGT是两种已报导的致病突然袭击变,A313T和319insGT均可能导致蛋白合成提前终止。经查阅文献及在互联网上查询,发现是两种已报导的致病突变,均可能导致蛋白合成提前终止,且终止出现在氨基端,致使编码蛋白羧基端的大多数氨基酸丢失,使该蛋白功能丧失,导致肝素硫酸盐的生物合成不足,从而可能引起调节软骨细胞增殖与成熟的负反馈环遭到破坏,使软骨细胞过早分化,造成局部骨生长异常而发病^[12]。EXT2基因编码蛋白质的大多数氨基酸丢失可能导致比较严重的症状,而患者严重的临床表现与其突变类型也是对应的。

对于HME,目前尚无特效药物进行预防或抑制其生长,手术治疗有复发风险,而且对一些多发性病例也不可能做到全部切除,更由于此病的遗传早发现象(后一代较前一代发病早、症状重),使得基因诊断、特别是产前诊断具有重要意义。已有的连锁分析与突变研究的结果认为70%以上HME家系或病例是由EXT1或EXT2基因突变所致^[13]。据人类基因突变数据库(The Human Gene

Mutation Database, HGMD)统计,到2005年底,在EXT1基因中共发现了111种突变;在EXT2基因中发现了49种突变。从目前已发现的EXT1与EXT2基因突变情况分析,突变形式以无义突变或移码突变为主,本研究中发现的两种突变亦属于这两种类型。从发生突变的位点上看,未发现突变热点,但相对集中在少数几个外显子:在EXT1基因中,78%的突变发生在第1,2和6号外显子。在EXT2基因中,66%的突变发生在2号和8号外显子。此结果为临床基因诊断提供了便利。

变性梯度凝胶电泳最初是由Fisher等^[14]于1983年创立,现在该技术与PCR技术相结合已被广泛应用于各种突变分析。它主要是利用梯度变性胶来分离DNA片段。一个DNA片段其特定的序列组成决定了其解链区域(melting domain, MD)和解链行为(melting behavior)^[14],不同的双链DNA片段因为其序列组成不一样,所以其解链区域及各解链区域的解链温度也不一样。当它们进行DGGE/TGGE时,初时变性剂浓度(或温度)比较小,DNA片段的迁移行为与在一般的聚丙烯酰胺凝胶中一样。然而一旦DNA片段迁移到一特定位,其变性剂浓度(或温度)刚好能使双链DNA片段最低的解链区域解链时,双链DNA片段最低的解链区域立即发生解链,部分解链的DNA片段在胶中的迁移速率会急剧降低。同样长度但序列不同的DNA片段会在胶中不同位置达到各自最低解链区域的解链温度,因此它们会在胶中的不同位置发生部分解链导致迁移速率大大下降,从而在胶中被区分开来。尤其是当加了GC夹子后,DNA片段中基本上每个碱基处的序列差异都能被区分开^[15,16]。于波等^[17]研究发现用DGGE检测皮肤癌p53基因第5~8外显子的总突变率为33%,而SSCP只有25%。侯君等^[18]比较了DGGE,SSCP和RFLP3种方法后认为:DGGE检测结果具有无假阳性,重复性好、准确率高等优势。而且DGGE可初步判断基因型:野生型为一条带;杂合子有3~4条带;而纯合子只有一条带,但与野生型不同。本研究采用DGGE对EXT2基因进行突变检测,结果显示:具有移码突变的模板在DGGE构象图中出现明显的4条构象带,而仅有单核苷酸改变的则在垂直胶中出现了明显的2条构象带,可能是由于4种双链中的3种因构象改变相似而使迁移率相近所致(构成深色曲线),与其对应的平行DGGE电泳图谱也可见3条构象带。可见由于

错配的异源双链的存在,使 DGGE 在检测突变时较其他方法更易发现异常构象,假阴性率更低。考虑到 *EXT2* 基因中,66% 的突变发生在 2 号和 8 号外显子,笔者对其他家系中先证者的外显子 2 和 8 直接测序,未发现有 DGGE 未检出的突变或多态。DGGE 对 *EXT2* 基因外显子 2 和 8 的变异检出率达到了 100%。

总之,与 SSCP 相比,DGGE 不但具有重复性好、准确率高等优势;而且 DGGE 可检测较长片段,而 SSCP 在片段大于 300 bp 时检出率已经大打折扣^[19]。与 DHPLC 相比,DHPLC 虽然检出率高,但是其所需仪器设备价格昂贵。与直接测序相比,DGGE 所需仪器设备及直接成本更低。因此我们认为:采用 DGGE 法结合测序,对 *EXT1* 和 *EXT2* 基因发生突变相对集中的几个外显子进行突变分析,既经济又可信,是对 HME 进行基因诊断与产前诊断的一种较好的候选方法。

参考文献:

- [1] Hennekam RC. Hereditary multiple exostoses [J]. J Med Genet, 1991, 28(4):262-266.
- [2] Cook A, Raskind W, Blanton SH, et al. Genetic heterogeneity in families with hereditary multiple exostoses [J]. Am J Hum Genet, 1993, 53(1):71-79.
- [3] Wu YQ, Heutink P, de Vries BB, et al. Assignment of a second locus for multiple exostoses to the pericentromeric region of chromosome 11 [J]. Hum Mol Genet, 1994, 3(1):167-171.
- [4] Le Merrer M, Legeai-Mallet L, Jeannin PM, et al. A gene for hereditary multiple exostoses maps to chromosome 19p [J]. Hum Mol Genet, 1994, 3(5):717-722.
- [5] Ahn J, Ludecke HJ, Lindow S, et al. Cloning of the putative tumour suppressor gene for hereditary multiple exostoses (*EXT1*) [J]. Nat Genet, 1995, 11(2):137-143.
- [6] Stickens D, Clines G, Burbee D, et al. The *EXT2* multiple exostoses gene defines a family of putative tumour suppressor genes [J]. Nat Genet, 1996, 14(1):25-32.
- [7] Wuyts W, Van Hul W, Wauters J, et al. Positional cloning of a gene involved in hereditary multiple exostoses [J]. Hum Mol Genet, 1996, 5(10):1547-1557.
- [8] Vink GR, White SJ, Gabelic S, et al. Mutation screening of *EXT1* and *EXT2* by direct sequence analysis and MLPA in patients with multiple osteochondromas: splice site mutations and exonic deletions account for more than half of the mutations [J]. Eur J Hum Genet, 2005, 13(4):470-474.
- [9] Philippe C, Porter DE, Emerton ME, et al. Mutation screening of the *EXT1* and *EXT2* genes in patients with hereditary multiple exostoses [J]. Am J Hum Genet, 1997, 61(3):520-528.
- [10] Hecht JT, Hogue D, Strong LC, et al. Hereditary multiple exostosis and chondrosarcoma: linkage to chromosome II and loss of heterozygosity for *EXT*-linked markers on chromosomes II and 8 [J]. Am J Hum Genet, 1995, 56(5):1125-1131.
- [11] Duncan G, McCormick C and Tufaro F. The link between heparan sulfate and hereditary bone disease: finding a function for the *EXT* family of putative tumor suppressor proteins [J]. J Clin Invest, 2001, 108(4):511-516.
- [12] Kim BT, Kitagawa H, Tamura J, et al. Human tumor suppressor *EXT* gene family members *EXT1* and *EXT3* encode alpha 1,4-N-acetylglycosaminyltransferases that likely are involved in heparan sulfate/heparin biosynthesis [J]. Proc Natl Acad Sci USA, 2001, 98(13):7176-7181.
- [13] Gigante M, Matera MG, Seripa D, et al. Ext-mutation analysis in Italian sporadic and hereditary osteochondromas [J]. Int J Cancer, 2001, 95(6):378-383.
- [14] Fischer SG, Lerman LS. DNA fragments differing by single base-pair substitutions are separated in denaturing gradient gels: correspondence with melting theory [J]. Proc Natl Acad Sci USA, 1983, 80(6):1579-1583.
- [15] Myers RM, Fischer SG, Maniatis T, et al. Modification of the melting properties of duplex DNA by attachment of a GC-rich DNA sequence as determined by denaturing gradient gel electrophoresis [J]. Nucleic Acids Res, 1985, 13(9):3111-3129.
- [16] Myers RM, Fischer SG, Lerman LS, et al. Nearly all single base substitutions in DNA fragments joined to a GC-clamp can be detected by denaturing gradient gel electrophoresis [J]. Nucleic Acids Res, 1985, 13(9):3131-3145.
- [17] 于波, 阎春林, 朱运松, 等. 变性梯度凝胶电泳和单链构象多态性分析检测皮肤癌 *p53* 基因突变的比较 [J]. 复旦学报(医学科学版), 2001, 28(3):209-212.
YU Bo, YAN Chun-lin, ZHU Yun-song, et al. A comparison of denaturing gradient gel electrophoresis and single strand conformation polymorphism analysis in detecting the mutation of *p53* gene in skin cancer [J]. J Fudan Univ (Med Sci), 2001, 28(3):209-212.
- [18] 侯君, 谭云山, 韩琼林. 3 种常用单核苷酸多态性检测方法的应用比较 [J]. 中国临床医学, 2004, 11(2):255-257.
HOU Jun, TAN Yun-shan, HAN Qiong-lin. Comparison of three methods in detection the single nucleotide polymorphism [J]. Clinical Medical Journal of China, 2004, 11(2):255-257.
- [19] 张宇红, 周常文. PCR-SSCP 分析技术的研究进展及应用前景 [J]. 中国优生与遗传杂志, 2002, 10(5):126-127.
ZHANG Yu-hong, ZHOU Chang-wen. Thre progress and potential application of PCR-SSCP [J]. Chin J Birth Health Heredity, 2002, 10(5):126-127.